

第3章 章动力特性 P32-40

1 作用力确定

基本内容

- 作用力确定
 - 往复惯性力
 - 气体力
 - 离心力
 - 摩擦力
- 作用力分析
- 惯性力平衡
 - 多列
 - 角度式
- 飞轮矩确定

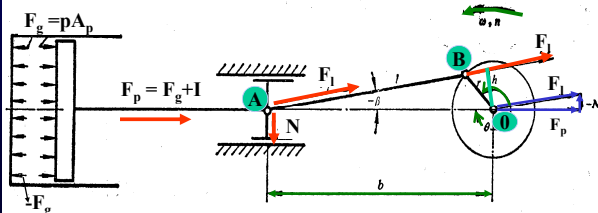


第3章 章动力特性 P32-35

1 作用力确定

作用力分类

- 沿气缸中心线方向
 - 往复惯性力
 - 气体力
- 沿曲柄旋转
 - 往复摩擦力
 - 回转惯性力
 - 曲轴摩擦力



第3章 章动力特性 P32-35

1 作用力确定

质量转化

连杆质量 m_l

曲轴质量 m_c

质量转化

$m_1 = \text{活塞} + \text{活塞杆} + \text{十字头} + \text{连杆小头}$

$m_1' = (0.3 \sim 0.4) m_1$

$m_2 = \text{曲柄销} + \text{部分曲柄} (\text{连杆大头})$

$m_2' = (0.6 \sim 0.7) m_2$

小铜套 连杆小头 连杆体 连杆大头 连杆螺栓



第3章 章动力特性 P32-35

1 作用力确定

质量转化

曲轴质量转化

$m_c = m_k + m_k' \rho / r + \text{连杆大头 } m_1'$

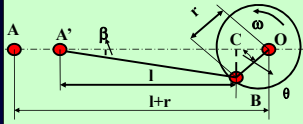
加速度

位移

$\chi = AA' = AO - A'O = AO - (A'C + CO)$

$= (l + r) - (l \cos \beta + r \cos \theta)$

$\Delta A'BO: r / \sin \beta = l / \sin \theta, \lambda = r / l$



第3章 章动力特性 P32-35

1 作用力确定

位移

$\cos \beta = \sqrt{1 - \sin^2 \beta} = \sqrt{1 - \lambda^2 \sin^2 \theta} = 1 - \frac{\lambda^2 \sin^2 \theta}{2} - \frac{\lambda^4 \sin^4 \theta}{8} - \dots$

精确式: $\chi = r[(1 - \cos \theta) + \frac{1}{\lambda}(1 - \sqrt{1 - \lambda^2 \sin^2 \theta})]$

近似式: $\chi = r[(1 - \cos \theta) + \frac{\lambda}{4}(1 - \cos 2\theta)]$

$\theta = 90^\circ$

$\lambda = 1/5$ 精: $x/r = 1.101$ 相对误差约0.0928%

$\lambda = 1/4$ 近: $x/r = 1.1$

$\lambda = 1/3.5 \sim 1/6.0$

$\lambda = 1/4$ 精: $x/r = 1.127$

$\lambda = 1/4$ 近: $x/r = 1.125$ 相对误差约0.177%

速度

$v = \frac{d\chi}{dt} = \frac{d\chi}{d\theta} \cdot \frac{d\theta}{dt} = r\omega(\sin \theta + \frac{\lambda}{2} \sin 2\theta)$

第3章 章动力特性 P32-35

1 作用力确定

加速度

$a = \frac{dv}{dt} = r\omega^2(\cos \theta + \lambda \cos 2\theta)$

回转加速度: $a_r = r\omega^2$

惯性力

$I = -m_s a = -m_s r\omega^2(\cos \theta + \lambda \cos 2\theta)$

$I = m_1 r\omega^2 \cos \theta + m_2 r\omega^2 \lambda \cos 2\theta$

一阶惯性力 I_1

二阶惯性力 I_2

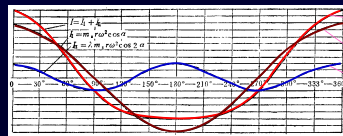
$I = I_1 + I_2$

$I_1 = m_1 r\omega^2 \cos \theta$

$I_2 = m_2 r\omega^2 \lambda \cos 2\theta$

连杆或活塞杆受拉“+”

连杆或活塞杆受压“-”



第3章 章动力特性 1 作用力确定 P32-35

- 气体力 F_g (θ 或 s)
- 压缩过程

曲柄转过 θ , 活塞位移 x_i

$$x_i = r[(1 - \cos \theta_i) + \frac{\lambda}{4}(1 - \cos 2\theta_i)]$$

压缩过程气体力 F_{gi}

$$p_i(s_0 + x_i)^n = p_s(s_0 + s)^n; \quad F_{gi} = p_i A_p$$

排气过程

$$p_i \geq p_d \quad F_{gi} = p_d A_p$$

第3章 章动力特性 1 作用力确定 P32-35

- 气体力 F_g (θ 或 s)
- 膨胀过程

曲柄转过 θ , 活塞位移 x_j

$$x_j = r[(1 - \cos \theta_j) + \frac{\lambda}{4}(1 - \cos 2\theta_j)]$$

气体力 F_{gj}

$$p_j(s_0 + x_j)^n = p_d s_0^n; \quad F_{gj} = p_j A_p$$

进气过程

$$p_j \leq p_s \quad F_{gj} = p_s A_p$$

第3章 章动力特性 1 作用力确定 P32-35

作业

某单级双作用压缩机, 气缸直径 $D=320\text{mm}$, 行程 $s=180\text{mm}$, 活塞杆直径 $d=50\text{mm}$, 转速 $n=485\text{rpm}$, 相对余隙容积 $\alpha=0.16$, 进气压力 $p_s=0.1267\text{MPa}$, 排气压力 $p_d=0.386\text{MPa}$, $\lambda=1/4$, 膨胀指数 $m=1.25$, 压缩指数 $n=1.4$. 试确定盖侧缸膨胀结束时曲柄转角 θ_1 和轴侧缸压缩结束时曲柄转角 θ_2 . (不计进排气阻力损失)

第3章 章动力特性 1 作用力确定 P32-35

- 摩擦力 R
- 摩擦耗功 N_m
- 往复摩擦力 R_r
- 回转摩擦力 R_r

$$N_m = N_i \left(\frac{1 - \eta_m}{\eta_m} \right)$$

$$R_r = \frac{(0.6 \sim 0.7) N_i \left(\frac{1 - \eta_m}{\eta_m} \right) \times 60}{2 \times s \times n}$$

$$R_r = \frac{(0.4 \sim 0.3) N_i \left(\frac{1 - \eta_m}{\eta_m} \right) \times 60}{s \times n \times \pi}$$

活塞环(处于气体压力作用下)	38~45%	十字头滑道	6~8%
活塞环(仅本身弹力)	5~8%	十字头销	4~5%
填料	2~10%	曲柄销	15~20%
		主轴销	13~18%

总活塞力 = 气体力 + 往复惯性力 + 往复摩擦力

第3章 章动力特性 2 作用力分析 P32-35

- 作用力传递

连杆力: $F_l = F_p / \cos \beta$
侧向力: $F_N = F_p \tan \beta$

第3章 章动力特性 2 作用力分析 P32-35

- 作用力传递

F_l 相对 O 点构成阻力矩 M_y
 $M_y = F_l h = F_p r \sin(\beta + \theta) / \cos \beta$

滑道侧向力 F_N 由滑道支反力 $-F_N$ 平衡
曲轴上阻力矩 M_y 由驱动力矩 M_d 平衡
主轴承上力 F_l 由轴承支反力 $-F_l$ 平衡

第3章 章动力特性 2 作用力分析 P32-35

■ 作用力、力矩分析

气体力：使气缸、机身及其连接件受拉或受压
 惯性力：传递到机器外部引起振动
 侧向力及倾覆力矩：引起机器振动

$M_N = F_N \cdot b = F_p \cdot r \sin(\beta + \theta) / \cos \beta$
 阻力矩 M_N ：阻止曲轴回转

第3章 章动力特性 3 惯性力平衡 P32-35

■ 离心力平衡

■ 往复惯性力平衡

→ 单列压缩机

加平衡重平衡掉 I_1 ，但遗留垂直分力 $m_r \omega^2 \sin \theta$ ，改善轴承受力情况

→ 两列立式压缩机

图 4-1 离心力平衡方法示意图

第i列曲柄转角 θ_i 与基准列曲柄转角 θ 关系

$\theta_i = \theta + \gamma_i - c_i$

i列与基准列曲柄夹角
 i列与基准列气缸中心线夹角

第3章 章动力特性 3 惯性力平衡

→ 两列立式压缩机 $\delta=180$

I_1	I_2	I_r	M_1	M_2
$m'_s r \omega^2 \cos \theta$	$m'_s r \omega^2 \lambda \cos 2\theta$	$m'_r r \omega^2$	$m'_r r \omega^2 b \cos \theta$	$m'_r r \omega^2 \lambda b \cos 2\theta$
$-m''_s r \omega^2 \cos \theta$	$m''_s r \omega^2 \lambda \cos 2\theta$	$m''_r r \omega^2$	$-m''_r r \omega^2 c \cos \theta$	$m''_r r \omega^2 \lambda c \cos 2\theta$

若 $m'_s = m''_s = m_s$ ； $m'_r = m''_r = m_r$ ； $b=c=a/2$ ，则

$I_{1\text{合}} = (m'_s - m''_s) r \omega^2 \cos \theta$ $I_{2\text{合}} = (m'_s + m''_s) r \omega^2 \lambda \cos 2\theta$
 $M_{1\text{合}} = (m'_s b + m''_s c) r \omega^2 \cos \theta$ $M_{2\text{合}} = (m'_s b - m''_s c) r \omega^2 \lambda \cos 2\theta$
 $I_{r\text{合}} = (m'_r - m''_r) r \omega^2$ $M_{r\text{合}} = (m'_r b + m''_r c) r \omega^2$

第3章 章动力特性 3 惯性力平衡

→ 两列立式压缩机 $\delta=90$

I_1	I_2	I_r	M_1	M_2
$m'_s r \omega^2 \cos \theta$	$m'_s r \omega^2 \lambda \cos 2\theta$	$m'_r r \omega^2$	$m'_r r \omega^2 b \cos \theta$	$m'_r r \omega^2 \lambda b \cos 2\theta$
$-m''_s r \omega^2 \sin \theta$	$-m''_s r \omega^2 \lambda \cos 2\theta$	$m''_r r \omega^2$	$-m''_r r \omega^2 c \sin \theta$	$m''_r r \omega^2 \lambda c \cos 2\theta$

若 $m'_s = m''_s = m_s$ ； $m'_r = m''_r = m_r$ ； $b=c=a/2$ ，则

$I_{1\text{合}} = m_s r \omega^2 (\cos \theta - \sin \theta)$ $I_{2\text{合}} = 0$
 $M_{1\text{合}} = \frac{a}{2} m_s r \omega^2 (\cos \theta + \sin \theta)$ $M_{2\text{合}} = a m_r r \omega^2 \lambda \cos 2\theta$
 $I_{r\text{合}} = \sqrt{2} m_r r \omega^2$ $M_{r\text{合}} = \frac{\sqrt{2}}{2} a m_r r \omega^2$

平衡情况不好

第3章 章动力特性 3 惯性力平衡

→ 对动式压缩机

若 $m'_s = m''_s = m_s$ ； $m'_r = m''_r = m_r$ ； $b=c=a/2$ ，则

$I_{1\text{合}} = (m'_s - m''_s) r \omega^2 \cos \theta$
 $I_{2\text{合}} = (m'_s + m''_s) r \omega^2 \lambda \cos 2\theta$
 $M_{1\text{合}} = (m'_s b + m''_s c) r \omega^2 \cos \theta$ $M_{2\text{合}} = (m'_s b + m''_s c) r \omega^2 \lambda \cos 2\theta$
 $I_{r\text{合}} = (m'_r - m''_r) r \omega^2$ $M_{r\text{合}} = (m'_r b + m''_r c) r \omega^2$

→ 三列对动式压缩机

若 $m'_s/2 = m''_s = m_s$ ； $m'_r/2 = m''_r = m_r$

第3章 章动力特性 3 惯性力平衡

→ 三列对动式压缩机

$m'_s r \omega^2 (\cos \theta + \lambda \cos 2\theta)$
 $m''_s r \omega^2 (-\cos \theta + \lambda \cos 2\theta)$
 $m''_s r \omega^2 (-\cos \theta + \lambda \cos 2\theta)$

$I_1 = I_2 = I_r = 0$
 $M_1 = M_2 = M_r = 0$

缺点：总阻力矩变化大

→ 三列压缩机

若 $m'_s = m''_s = m_s$ ； $m'_r = m''_r = m_r$

一列 $\begin{cases} I_1 = m_s r \omega^2 \cos \theta \\ I_2 = m_s r \omega^2 \lambda \cos 2\theta \\ I_r = m_r r \omega^2 \end{cases}$

第3章 章动力特性 3 惯性力平衡 P32-35

→ 三列压缩机

$$\begin{cases} I_1 = m_s r \omega^2 \cos(\theta + 120) = m_s r \omega^2 \left(-\frac{1}{2} \cos \theta - \frac{\sqrt{3}}{2} \sin \theta\right) \\ I_2 = m_s r \omega^2 \lambda \cos(2\theta + 240) = m_s r \omega^2 \lambda \left(-\frac{1}{2} \cos 2\theta + \frac{\sqrt{3}}{2} \sin 2\theta\right) \\ I_r = m_r r \omega^2 \end{cases}$$

$$\begin{cases} I_1 = m_s r \omega^2 \cos(\theta + 240) = m_s r \omega^2 \left(-\frac{1}{2} \cos \theta + \frac{\sqrt{3}}{2} \sin \theta\right) \\ I_2 = m_s r \omega^2 \lambda \cos(2\theta + 480) = m_s r \omega^2 \lambda \left(-\frac{1}{2} \cos 2\theta - \frac{\sqrt{3}}{2} \sin 2\theta\right) \\ I_r = m_r r \omega^2 \end{cases}$$

$I_{1\text{合}}=0; I_{2\text{合}}=0; I_{r\text{合}}=0$

第3章 章动力特性 3 惯性力平衡 P32-35

→ 三列压缩机

一阶惯性力矩

$$M_1 = m_s r \omega^2 a \cos \theta - m_s r \omega^2 a \left(-\frac{1}{2} \cos \theta + \frac{\sqrt{3}}{2} \sin \theta\right)$$

$$= \frac{3}{2} m_s r \omega^2 a \cos \theta - \frac{\sqrt{3}}{2} m_s r \omega^2 a \sin \theta$$

$$= \sqrt{3} m_s r \omega^2 a \cos(\theta + 30)$$

$330^\circ (M_{\max}), 150^\circ (M_{\min}), 60^\circ, 240^\circ (0)$

二阶惯性力矩

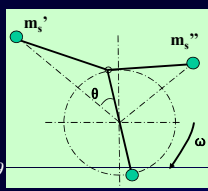
$$M_2 = m_s r \omega^2 \lambda a \cos 2\theta - m_s r \omega^2 \lambda a \left(-\frac{1}{2} \cos 2\theta - \frac{\sqrt{3}}{2} \sin 2\theta\right)$$

$$= \sqrt{3} m_s r \omega^2 \lambda a \left(\frac{\sqrt{3}}{2} \cos 2\theta + \frac{1}{2} \sin 2\theta\right)$$

$$= \sqrt{3} m_s r \omega^2 \lambda a \cos(2\theta - 30)$$

第3章 章动力特性 3 惯性力平衡 P32-35

→ V型压缩机



一列

$$I_1 = m_s' r \omega^2 \cos \theta$$

$$I_2 = m_s' r \omega^2 \lambda \cos 2\theta$$

二列

$$I_1 = m_s'' r \omega^2 \cos(\theta - 90) = m_s'' r \omega^2 \sin \theta$$

$$I_2 = m_s'' r \omega^2 \lambda \cos 2(\theta - 90) = -m_s'' r \omega^2 \lambda \cos 2\theta$$

一阶合力 $I_1 = \sqrt{(m_s' r \omega^2 \cos \theta)^2 + (m_s'' r \omega^2 \sin \theta)^2} = m_s r \omega^2$

一阶合力方向 $\tan \alpha = \frac{m_s' r \omega^2 \sin \theta}{m_s r \omega^2 \cos \theta} = \tan \theta$

二阶合力 $I_2 = \sqrt{(m_s' r \omega^2 \lambda \cos 2\theta)^2 + (-m_s'' r \omega^2 \lambda \cos 2\theta)^2} = \sqrt{2} m_s r \omega^2 \lambda \cos 2\theta$

第3章 章动力特性 3 惯性力平衡 P32-35

→ V型压缩机

合力方向 $\theta_2 = \tan^{-1} \frac{-m_s r \omega^2 \lambda \cos 2\theta}{m_s r \omega^2 \lambda \cos 2\theta} = \tan^{-1}(-1)$ $\theta_2 = -45^\circ$ 或 135°

4L-20/8压缩机: 平衡重 $2 \times 38.1 \text{ kg}$

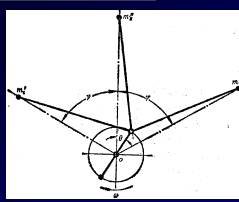
总往复质量: 1级 71.4 kg ; 2级 45 kg 总回转质量: 56.6 kg

→ W型压缩机

取中间垂直列为准列

$$I_{11} = m_s' r \omega^2 \cos(\theta - \gamma) \sin \gamma$$

$$+ m_s'' r \omega^2 \cos \theta \sin 0$$

$$- m_s''' r \omega^2 \cos(\theta + \gamma) \sin \gamma$$


第3章 章动力特性 3 惯性力平衡 P32-35

→ W型压缩机

$$I_{1v} = m_s' r \omega^2 \cos(\theta - \gamma) \cos \gamma + m_s'' r \omega^2 \cos \theta + m_s''' r \omega^2 \cos(\theta + \gamma) \cos \gamma$$

当: $m_s' = m_s'' = m_s'''$, 且 $\gamma = 60^\circ$ 时

$$I_{1v} = \frac{3}{2} m_s r \omega^2 \sin \theta; I_{1v} = \frac{3}{2} m_s r \omega^2 \cos \theta$$

$$I_{1\text{合}} = \sqrt{I_{1v}^2 + I_{1v}^2} = \frac{3}{2} m_s r \omega^2$$

合力方向 $\tan \alpha = \tan \theta$

当: $m_s' = m_s''/2 = m_s'''$, 且 $\gamma = 90^\circ$ 时 → 倒T型压缩机

$$I_{11} = (m_s' + m_s''') r \omega^2 \sin \theta$$

$$I_{1v} = m_s'' r \omega^2 \cos \theta$$

$$I_{1\text{合}} = \sqrt{I_{11}^2 + I_{1v}^2} = m_s'' r \omega^2$$

角度式压缩机: 平衡重质量=往复质量+回转质量

第3章 章动力特性 4 飞轮矩确定 P32-35

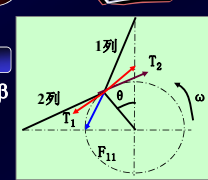
• 切向力与总切向力

曲柄销处连杆力分解成沿曲柄切线方向的分力 T

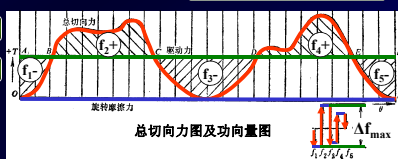
阻力矩 $M_y = Tr = F_p r \sin(\beta + \theta) / \cos \beta$

切向力 $T = F_p \sin(\beta + \theta) / \cos \beta$

总切向力 $T_{\text{tot}} = \sum T_i + T_r$



• 绘切向力图



• 确定飞轮矩

旋转不均匀度 δ

$$\delta = \frac{\omega_{\max} - \omega_{\min}}{\omega_m}$$

$$\omega_m = \frac{\omega_{\max} + \omega_{\min}}{2}$$

第3章 章动力特性 4 飞轮矩确定 P32-35

确定飞轮矩

$M_y - M_d = -J \varepsilon$ J包括:曲轴, 联轴节, 飞轮。

电机经皮带传动	$\delta \leq 1/30 \sim 1/40$
经弹性联轴节传动	$\delta \leq 1/80$
异步电机刚性连接(150kW以上)	$\delta \leq 1/100$
同步电机刚性连接	$\delta \leq 1/150 \sim 1/200$

一转中飞轮的最大动能变化 $\Delta E = \frac{1}{2} J (\omega_{\max}^2 - \omega_{\min}^2)$

$\Delta E = J \cdot \frac{\omega_{\max} + \omega_{\min}}{2} \cdot (\omega_{\max} - \omega_{\min}) = J \cdot \omega_m^2 \delta$

$J = \frac{\Delta W_{\max}}{\delta \cdot \omega_m^2} = \frac{900 \times \Delta W_{\max}}{\pi^2 \cdot n^2 \cdot \delta}$ $J = MD^2/4$; $\omega_m = n \pi / 30$

$\Delta W_{\max} = \Delta f_{\max} \cdot m_l \cdot m_T$

第3章 章动力特性 4 飞轮矩确定 P32-35

确定飞轮矩

$MD^2 = \frac{3600 \times \Delta W_{\max}}{\pi^2 \cdot n^2 \cdot \delta}$

M: 飞轮轮缘部分质量, 约为飞轮质量的90%
D: 飞轮轮缘截面质心所在圆的直径。

小结

定量计算

概念: 略

惯性力平衡

两列对动式

三列对动式

V型压缩机

W型压缩机

T型压缩机

气体力

压缩过程

膨胀过程

第4章 主要尺寸确定与气量调节 1 转速与主要尺寸确定 P30-32

行程s缸径D₁比 $\psi = s/D_1$ $\psi = 0.3 \sim 0.6$

优点: 结构紧凑, 刚性好

缺点: 活塞力、相对余隙较大, 零件笨重, 冷却性能差

优点: 活塞力、相对余隙较小, 冷却性能好;

缺点: 体积相对大, 刚性差。

活塞平均速度: $v_m = sn/60$

活塞环、填料、十字头滑板磨损大;

气阀布置困难(排气量一定, 气缸直径小), 相对余隙大;

转速高, 导致轴径及轴承磨损大。

第4章 主要尺寸确定与气量调节 1 转速与主要尺寸确定

活塞平均速度: $v_m = sn/60$

中大型压缩机(减轻重量): $v_m = 3.5 \sim 4.5 \text{ m/s}$

直流阀压缩机: $v_m = 5 \sim 6 \text{ m/s}$

微型压缩机: $v_m = 1.0 \sim 2.5 \text{ m/s}$

迷宫式压缩机(为减少泄漏): $v_m \geq 4 \text{ m/s}$

聚四氟乙烯密封环压缩机: $v_m \leq 3.5 \text{ m/s}$

超高压压缩机(为保证摩擦件的耐久性): $v_m \leq 2.5 \text{ m/s}$

乙炔气体压缩机(乙炔具有爆炸性): $v_m \approx 1 \text{ m/s}$

摩托压缩机(为适应内燃机): $v_m = 7 \text{ m/s}$

转速n $Q = V_h \cdot \lambda_d \cdot n = \frac{\pi}{4} D_1^2 \cdot s \cdot i_1 \cdot z_1 \cdot \lambda_d \cdot n$

$n = 145 \cdot \frac{1}{\psi} \sqrt{\frac{v_m^3 \cdot i_1 \cdot z_1 \cdot \lambda_d}{Q}}$

微型和小型: 3000-1000rpm

中型: 500-1000rpm

大型: 250-500rpm

第4章 主要尺寸确定与气量调节 1 转速与主要尺寸确定

转速n

行程 $s = 30 v_m / n$

活塞力大于 $2 \times 10^4 \text{ N}$ 时, 应取中国的行程系列值, 并反过来修正 v_m 或 n 。

气缸直径 D

单作用气缸直径

$V_h = z_i \frac{\pi}{4} D^2 s \rightarrow D = 1.13 \sqrt{\frac{V_h}{z_i s}}$

气缸数

图 2-3 当 $\lambda_d = 0.75$ 时, $v_m = v_{m0} \cdot \lambda_d$ 的关系

第4章 主要尺寸确定与气量调节 1 转速与主要尺寸确定

双作用气缸直径

$V_h = z_i s \frac{\pi}{4} (2D^2 - d^2) \Rightarrow D = 1.13 \sqrt{\frac{V_h}{2z_i s} + \frac{d^2}{2}}$

级差式

$V_h = s \frac{\pi}{4} (2D^2 - D_h^2 - D_m^2)$

$D = 1.13 \sqrt{\frac{V_h}{2s} + \frac{D_h^2 + D_m^2}{2}}$

双作用

级差式

第2节 气量调节 1 气量调节原理 P40-44

原理 $Q_0 = V_{h1} \cdot \lambda_{v1} \cdot \lambda_{p1} \cdot \lambda_{T1} \cdot n$

V_h 不变, 改变 λ , 经济性差, 其余系数及转速都可用于流量调节

要求

- 连续调节
- 经济性好
- 操作简单、可靠, 维修方便。

2 气量调节方法

- 停车调节
 - 启动频繁, 增加磨损
 - 电网波动大
 - 启动设备要求简单
 - 微型压缩机
- 转速调节
 - 连续调节
 - 比功耗小
 - 各级压比不变
 - 无专门调节机构
 - 内燃机、蒸汽机驱动的压缩机

第2节 气量调节 2 气量调节方法 P40-44

- 转速调节
 - $n \downarrow$ 气阀会延迟打开, $n \uparrow$ 气阀产生振颤
 - 运动部件磨损加剧
 - 润滑油量不足
- 进气节流
 - 连续调节
 - 调节机构简单、可靠
 - 比功耗大
 - 各级压比、排气温度变

进气节流示功图

第2节 气量调节 2 气量调节方法 P40-44

- 切断进气
 - 调节机构简单、可靠
 - 功率消耗低

动力用空气压缩机

压比急剧升高、活塞力突变。
排气温度升高, 不适用特殊气体
缸内形成负压, 不宜无油润滑压缩机

第2节 气量调节 2 气量调节方法 P40-44

- 进、排气管连通: 节流连通、自由连通
 - 调节机构简单、可靠
 - 自由连通用于大型压缩机启动
 - 排气管路需装止逆阀增加阻力损失
 - 节流连通示功图不变, 功率消耗大
- 顶开进气阀
 - 功率消耗低、经济
 - 降低气阀寿命, 适用转速低。
 - 用于多级压缩机时, 各级均须设置压开叉, 调节时, 各级气阀应同时压开。

图 13-6 具有活塞式顶开阀的压开叉

第2节 气量调节 2 气量调节方法 P40-44

- 顶开进气阀

膜式伺服器优点:
装在气缸外面, 检修方便

全部行程顶开进气阀 P-V 图

部分行程顶开进气阀 P-V 图

第2节 气量调节 2 气量调节方法 P40-44

- 顶开进气阀

图 13-11 气压控制顶开力的气流驱动式部分行程顶开进气阀

图 13-10 手动气流驱动式部分行程顶开进气阀结构

1—压开叉 2—调节装置 3—气阀弹簧 4—阀片 5—连杆

$n=400\sim500\text{rpm}$ $n=250\sim300\text{rpm}$

第2节 气量调节

2 气量调节方法

P40-44

连通补助容积

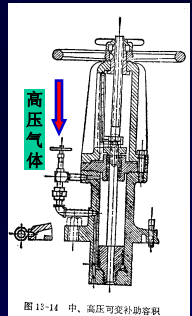
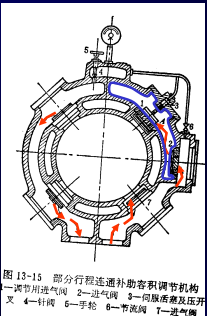


图 13-13 部分行程连通补助容积调节机构
1—调节用进气阀 2—进气阀 3—同膜壳及压开文 4—针阀 5—手柄 6—节流阀 7—进气阀

图 13-14 中、高压可变补助容积

第2节 气量调节

2 气量调节方法

P40-44

连通补助容积

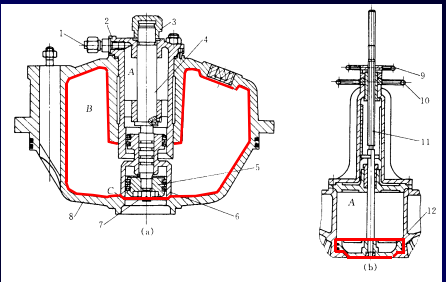


图 2-38 连通补助容积调节结构
(a) 固定补助容积调节结构；(b) 可变补助容积调节结构
1—高压接头；2—高压腔；3—螺帽；4—连接杆；5—小活塞；6—阀心；7—螺帽；
8—补助容积；9—微调手柄；10—调节手柄；11—丝杠；12—活塞

第5章 选型

1 选型步骤

P40-44

明确气体的性质

混合气体成分、易燃、易爆、有毒、含有颗粒、易反应。

明确吸气状态

进口压力、温度、密度等。

确定热力性能

排气量、排气压力、排气温度及结构活塞式、隔膜式、转子式或离心式等。

确定压缩机型式

立式、卧式、角度式或其它等。

进行热力计算

选原动机

异步电机、同步电机、内燃机或汽轮机。

工况复算

校核排气温度、排气量、排气压力、功率是否满足。

材料、密封要求

是否耐腐蚀？密封性能好。

第5章 选型

2 特性比较

P40-44

名称	往复式	回转式	离心式	轴流式
排气压力/MPa	一般0.2~32，最高700	一般0.2~1，最高4.5	一般0.2~15，最高70	一般0.2~0.8
排气量/m³/min	0.1~400最小0.01	0.1~500	10~3000	200~10000
调节性能	排气压力稳定	排气压力稳定	随流量变化	随流量变化
绝热效率	较高	一般	一般	较高
结构、零部件	复杂	较简单	简单	简单
可靠性	一般	高	高	高
寿命	一般	较长	长	长
制造要求	一般	大多很高	高	高
安装维修	较复杂	较简单	较简单	较简单
工作腔润滑	有、无	有、无	无	无
气体带液工作适应性	差	强	不可	不可

